

## حل عددی معادله‌ی برگر تعمیم یافته با کاربرد تفاضل محدود و مقایسه‌ی آن با روش Lattice Boltzmann

محمد واقفی<sup>۱\*</sup>

### چکیده

هدف اصلی این تحقیق حل عددی معادله‌ی برگر تعمیم یافته در شرایط مرزی و اولیه‌ی مناسب با استفاده از روش تفاضل محدود، و مقایسه‌ی نتایج به دست آمده با جوابهای موجود در مقالات دیگر می باشد. این معادله‌ی در حالت بی بعد مورد بررسی قرار گرفت. نتایج حل عددی با کاربرد تفاضل محدود با دستاوردهای روش Lattice Boltzmann مقایسه شد، که نمودارها و جداول مربوطه ارائه گردید، این مقایسه را توصیف می نمایند. همچنین، در این مقاله، به بررسی تاثیر فراسنجهای زمان، گرانیوی و توان سرعت ته نشینی (در معادله‌ی برگر) بر سرعت ته نشینی مواد معلق، پرداخته شد. نتایج نشان دادند که با افزایش فراسنجهای زمان و گرانیوی، از بیشترین سرعت ته نشینی کاسته شده، و محل رخداد بیشترین سرعت ته نشینی به سمت انتهای بازه‌ی مورد مطالعه انتقال می‌یابد. علاوه بر این، نتایج بیانگر آنند که با ۱۰۰ برابر شدن فراسنج گرانیوی، سرعت سقوط ذرات در نقطه‌ی اوج حدود ۶۰ درصد کاهش می‌یابد. تجزیه و تحلیل نتایج از مطالب ارائه شده در این مقاله می باشد.

**واژه‌های کلیدی:** معادله‌ی برگر تعمیم یافته، روش تفاضل محدود، سرعت بیشترین، ته نشینی

<sup>۱</sup> - استادیار سازه های هیدرولیکی، گروه مهندسی عمران، دانشکده فنی و مهندسی، دانشگاه خلیج فارس، بوشهر، بوشهر،  
<sup>\*</sup> - نویسنده مسوول مقاله: vaghefi@pgu.ac.ir

## مقدمه

فرایندهای فیزیکی وابسته به فراسنجهای مختلف می- باشند که در زبان ریاضی با معادله‌ی دیفرانسیل نظیر خود شبیه سازی می شود. با علم به اینکه نزدیک بودن شبیه ریاضی به رفتار واقعی فرایند از اهمیت خاص برخوردار است، حل دقیق معادلات دیفرانسیل و درستی جواب نیز دارای درجه اهمیت بالایی می باشد. از آن جایی که حل برخی از این معادلات غیرخطی چنان دشوار است که به دست آوردن جواب تحلیل آنها مگر در شرایط خاص امکان پذیر نمی باشد، این گونه معادلات را می توان با روشهای عددی با در نظر گرفتن ضریب خطا در محاسبه حل نمود. شکل کلی معادله‌ی برگر تعمیم یافته به شکل زیر است:

$$\frac{\partial u}{\partial t} + u^m \frac{\partial u}{\partial x} = \nu \frac{\partial^2 u}{\partial x^2} \quad (1)$$

با داشتن شرایط مرزی و اولیه مناسب، این معادله‌ی به یک معادله‌ی قابل حل تبدیل می شود.

$$u(0,t) = a \quad (2)$$

$$u(1,t) = b$$

$$u(x,0) = f(x)$$

که معادله‌ی فوق  $u$  تابعی وابسته به زمان و مکان است که نشانگر سرعت ته نشینی ذره می باشد.  $a$  و  $b$  عدد ثابتند،  $m$  توان سرعت ته نشینی در معادله‌ی برگر و  $t$  زمان سقوط ذره می باشد. معادله‌ی برگر تعمیم یافته که به بیان شبیه ریاضی نحوه‌ی ته نشین شدن ذره ای در سیال راکد تحت تأثیر نیروی گرانش و تلاطم در سیال به صورت بی بُعد می پردازد، جزء معادلات دیفرانسیل غیرخطی وابسته به زمان می باشد. معادله‌ی برگر اولین بار به وسیله‌ی بتمن در سال ۱۹۱۵ مطرح شد، اما به دلیل کارهای گسترده برگر از جمله استفاده از معادله‌ی به عنوان شبیه ریاضی تلاطم این معادله‌ی به نام وی اسم گذاری شد [۱]. حل معادله‌ی برگر در حالات مختلف از زمان های گذشته تاکنون در زمینه مهندسی آب کاربردهای فراوانی داشته است که در ادامه به تعدادی از آنها اشاره می شود. این معادله برای نخستین بار در سال ۱۹۳۹ برای مطالعه‌ی جریان آشفته مورد استفاده قرار

گرفت. معادله‌ی برگر KDV اولین بار به وسیله‌ی کروتوج و دوریز برای استفاده در شبیه غیرخطی تغییرات در شکل موج های طولانی در کانال پیشنهاد شد [۲]. یکی از اولین حل‌های عددی معادله‌ی برگر فیشر در سال ۱۹۷۴ به وسیله‌ی دازداگ و کائسا ارائه شد که با کاربرد Pseudo-Spectra حل گردید. برادبریج و همکاران (۱۹۹۲)، حل تحلیلی و دقیق معادله‌ی برگر و کاربرد آن در نفوذ آب در خاکهای لایه ای ارائه نمودند [۸]. هیلز و واریک (۱۹۹۳)، با استفاده از روشهای تحلیلی و تفاضل محدود به حل معادله‌ی برگر برای جریان آب در خاک در یک طول محدود پرداخته و دو مثال را با این روش حل نمودند [۵]. واریک و همکاران (۱۹۹۵)، به حل تحلیلی معادله‌ی برگر یک بعدی برای مسائل مربوط به آب های سطحی و زهکشی پرداختند. معادله‌ی برگر در دو حالت درگیر و منفرد به وسیله‌ی دوان و نی (۱۹۹۸)، شرح داده شد و مساله در حالت شرایط مرز و آغازی صفر تشریح شد. معادله‌ی برگر فیشر به روش اجزاء محدود در سالهای ۱۹۹۰، ۱۹۹۱، ۱۹۹۵، ۱۹۹۷ و ۲۰۰۱ به ترتیب به وسیله‌ی پارخ، تانگ، کری، روسلر و رزوان حل شده است حق و همکاران (۲۰۱۲)، معادله‌ی برگر به وسیله‌ی باشا (۲۰۰۲)، برای حالت یک بعدی و تحت شرایط مختلف اولیه و مرزی برای مساله نفوذ آب در خاک حل شد. معادله‌ی برگر سه بعدی به وسیله‌ی شن و همکاران (۲۰۰۴)، مورد بررسی قرار گرفت. عبود و سلیمان (۲۰۰۵)، معادله‌ی برگر را در حالت درگیر با کاربرد تکرار تغییراتی حل کرده و پاسخ را با جواب به دست آمده از روش ADM مقایسه کرد، او نشان داد که روش تکرار تغییراتی دقیق تر از روش ADM است. معادله‌ی برگر تعمیم یافته دیگر بار به وسیله‌ی رامادان و دناف (۲۰۰۵)، به روش Quintic Splines حل شد. وازواز (۲۰۰۸)، به حل معادله‌ی برگر سه بعدی پرداخت و نتایج خود را ارائه داد. دوان و همکاران (۲۰۰۸)، به حل معادله‌ی برگر تعمیم یافته پرداخته، آنها با استفاده از روش LBM این معادله‌ی را حل کردند. دای و همکاران (۲۰۰۹)، به بررسی معادله-ی برگر سه بعدی پرداختند و با استفاده از روش Enp-Function برای حل این روش استفاده کردند و جوابی دقیق برای این معادله‌ی محاسبه کردند. حق و اودین

$$h = \frac{L}{N_x - 1} \quad (3)$$

$$x_i = (i - 1)h \quad (4)$$

$$k = \frac{t}{N_t - 1} \quad (5)$$

$$t_j = (j - 1)k \quad (6)$$

فرانسجهای  $k$  و  $h$  به ترتیب فواصل بین گره های شبکه بندی در جهت زمان و مکان می باشند.  $X_i$  و  $t_j$  به ترتیب نشانگر نقطه  $\Delta t$  در جهت مکان و نقطه  $\Delta x$  در جهت زمان است.  $i$  و  $j$  به ترتیب در بازه  $(1, N_x)$  و بازه  $(1, N_t)$  می باشند. برای مشتقهای مختلف موجود در معادله‌ی، مقادیر تقریبی با استفاده از روابط تقریبهای پیشرو و پسرو نیوتن محاسبه شد.

$$\frac{\partial u}{\partial x}(x_i, t_j) = \frac{u(x_i, t_j) - u(x_{i-1}, t_j)}{h} \quad (7)$$

$$\frac{\partial u}{\partial t}(x_i, t_j) = \frac{u(x_i, t_j) - u(x_i, t_{j-1})}{k} \quad (8)$$

$$\frac{\partial^2 u}{\partial x^2}(x_i, t_j) = \frac{u(x_{i+1}, t_j) - 2u(x_i, t_j) + u(x_{i-1}, t_j))}{h^2} \quad (9)$$

$u$  سرعت ته نشینی ذره در زمان  $t_j$  و مکان  $X_i$  می باشد. با جایگذاری روابط ۷، ۸ و ۹ در معادله‌ی (۱) برای نقطه‌ی  $(X_i, t_j)$  رابطه‌ی ۱۰ به دست آمد.

$$u(x_i, t_j) \left[ \frac{1}{k} + \frac{U^m_{(x_i, t_j)}}{h} + \frac{2v}{h^2} \right] + u(x_{i-1}, t_j) \left[ -\frac{U^m_{(x_i, t_j)}}{h} - \frac{v}{h^2} \right] + u(x_{i+1}, t_j) \left[ -\frac{v}{h^2} \right] + \frac{1}{k} u(x_i, t_{j-1})$$

$$\frac{u(x_i, t_j)}{k} - \frac{u(x_i, t_{j-1})}{k} + U^m_{(x_i, t_j)} \frac{u(x_i, t_j)}{h} - U^m_{(x_i, t_j)} \frac{u(x_{i-1}, t_j)}{h}$$

$$= v \frac{u(x_{i+1}, t_j)}{h^2} - 2v \frac{u(x_i, t_j)}{h^2} + v \frac{u(x_{i-1}, t_j)}{h^2} \quad (10)$$

$$A_1 u(x_i, t_j) + A_2 u(x_{i-1}, t_j) + A_3 u(x_{i+1}, t_j) = u(x_i, t_{j-1})$$

که در رابطه (۱۰) ضرایب  $A_1$ ،  $A_2$  و  $A_3$  از روابط مربوطه محاسبه و در روابط فوق استفاده می شوند.

(۲۰۰۹)، به حل عددی معادله‌ی برگر KDV پرداخته و آنرا به روش Mesh-Free به صورت عددی حل کردند. در سال ۲۰۱۰، مهر و مهتا به توسعه یک شبیه انگاره ای برای حل مساله انتشار در محیطهای مختلخل با استفاده از معادله‌ی برگر غیرخطی در جریانهای غیریکنواخت و یک بعدی پرداختند. شارلر و همکاران (۲۰۱۲)، به حل عددی معادله‌ی برگر دو بعدی پرداخته و با استفاده از روش Radial Basis Function Collocation این معادله‌ی را حل کردند و دو مثال عددی را نیز با نمودارهای متفاوت ارائه دادند که در هر یک از مثالهای عددی شرایط مرزی متفاوتی را استفاده کرده و در شرایطی متفاوت این معادله را حل کردند. ژاو و همکاران (۲۰۱۲)، معادله‌ی برگر فیشر با کاربرد Chebyshev-Legendre Pseudo-Spectral حل کردند و در سه شرایط مرزی متفاوت نتایج عددی را ارائه دادند. سینگ و همکاران (۲۰۱۵)، به حل معادله‌ی برگر ناشی از مساله انتشار طولی با استفاده از انتقال Sumudu برای جریان سیال در محیطهای مختلخل پرداختند. اصغری پری و محققان (۱۳۹۳) به مطالعه عددی تاثیر ایجاد گودالهای حفاظتی در بستر برای مهار کردن جریانهای غلیظ پرداختند. نتایج آنها نشان داد که ایجاد گودالهای حفاظتی در بستر هم برای جریان زیر بحرانی و هم فوق بحرانی می تواند میزان بسیار زیادی از جریان غلیظ را مهار کند.

در مقاله حاضر درستی نتایج حاصل از حل معادله ی برگر تعمیم یافته به روش تفاضل محدود و مقایسه آن با نتایج روش LBM اثبات شده است. همچنین این معادله‌ی در حالت‌های خاصی که نتایجی برای آنها در دست نیست، حل شد و تأثیر فرانسجهای مختلف نظیر زمان و گرانیروی بر سرعت ته نشینی ذرات در طول مکان بررسی شده و نتایج آن ارائه شده است.

## مواد و روشها

### روش تفاضل محدود

در مرحله اول دو بازه زمانی و مکانی به طولهای به ترتیب  $t$  و  $L$  با در نظر گرفتن  $N_t$  گره در جهت زمان و  $N_x$  گره در جهت مکان، شبکه بندی شد.

$$A_1 = 1 + \frac{k}{h} u^m(x_i, t_j) + \frac{2kv}{h^2} \quad (11)$$

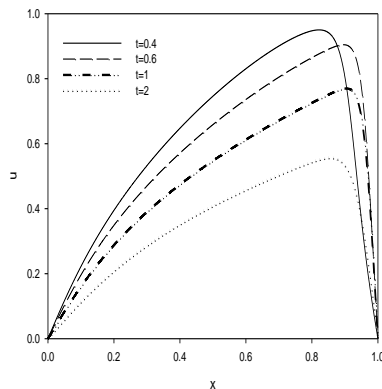
$$u(x, 0) = \sin(\pi x)$$

$$u(0, t) = u(1, t) = 0 \quad (15)$$

$$A_2 = -\frac{k}{h} u^m(x_i, t_j) - \frac{kv}{h^2} \quad (12)$$

$$A_3 = -\frac{kv}{h^2} \quad (13)$$

در شکل (۱) نتایج حل عددی معادله‌ی برگر تعمیم یافته در حالت  $m=2$  و  $v=0.01$  به روش تفاضل محدود در چهار زمان  $t=0.4, t=0.6, t=1, t=2$  نشان داده شده است که در این روش فواصل گره‌ها در جهت زمان  $(k) 0.05$  و تعداد گره‌ها در جهت  $x$  برابر  $N_x=101$  در نظر گرفته شد. نتایج نشان می‌دهد که با افزایش زمان تقریباً در تمامی مکانها از میزان سرعت ته نشینی کاسته می‌شود. بطوری که در زمان  $t=2$  نقطه اوج سرعت ته نشینی به حدود ۶۰ درصد مقدار نقطه اوج در  $t=4$  می‌رسد. همچنین با توجه به شکل آب نگار گونه نمودارها و همان طور که مشاهده می‌شود، شاخه نزولی آب نگار از شیب بیشتر نسبت به شاخه نزولی برخوردار است.



شکل ۱- نمودار  $u-x$  در حالت  $v=0.01$  در چهار زمان  $t=0.4, t=0.6, t=1, t=2$  به روش تفاضل محدود.

برخی داده‌های عددی نمودارهای ارائه شده در این شکل، در جدول ۱ نشان داده شده است که تغییر سرعت ته نشینی با افزایش زمان بصورت عددی در برخی از مکانها مورد بررسی قرار گرفته نمایش داده شده است.

معادله‌ی ارائه شده در رابطه (۱۰) برای تمامی نقاط بازنویسی شده و با داشتن دو شرط مرزی و شرط اولیه، یک دستگاه چند معادله‌ی و چند مجهول غیر خطی حاصل شد.

جهت حل این دستگاه معادلات از روش نیوتن رافسون استفاده گردید. همچنین تمامی مراحل حل معادله‌ی به زبان MATLAB نگاشته شد.

### روش محاسبه خطا

برای محاسبه خطای نتایج روش تفاضل محدود نسبت به روش دقیق در هر نقطه و یا نتایج حاصل از دو حالت متفاوت نسبت به یکدیگر، از رابطه‌ی زیر استفاده شده است:

$$e_{(1,2)} = \left( \frac{u_1(x_i, t_j) - u_2(x_i, t_j)}{u_2(x_i, t_j)} \right) \times 100 \quad (14)$$

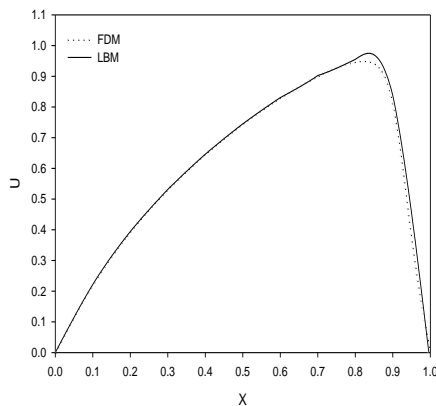
که در آن  $e_{(1,2)}$  درصد خطای جواب به دست آمده از روش یا حالت ۲ نسبت به نتیجه حاصله از روش یا حالت ۱ می‌باشد.  $u_1(x_i, t_j)$  و  $u_2(x_i, t_j)$  به ترتیب سرعت ته نشینی به دست آمده در زمان  $t_j$  و مکان  $x_i$  به روش یا حالت ۱ و روش یا حالت ۲ می‌باشند. برای مثال  $e_{(Exact, FDM)}$  نشان دهنده‌ی خطای نتایج حاصل از روش تفاضل محدود نسبت به نتایج روش دقیق در یک نقطه‌ی خاص می‌باشد. همچنین  $e_{(m=1,2)}$  بیانگر تفاوت بین نتایج حاصل از حل در حالت  $m=2$  نسبت به حالت  $m=1$  می‌باشد.

### مثال عددی

معادله‌ی برگر تعمیم یافته با فرض  $m=2, v=0.01$  با شرایط مرزی و اولیه ارائه شده در رابطه (۱) حل شد و نتایج عددی آن در ادامه ارائه شده است.

جدول ۱- داده های عددی  $u$  در حالت  $v=0.01$  در چهار زمان  $t=0.4, t=1, t=0.6$  و  $t=2$  به روش تفاضل محدود.

x	u				$e_{(t=0.4,t=0.6)}$	$e_{(t=0.4,t=1)}$	$e_{(t=0.4,t=2)}$
	t=0.4	t=0.6	t=1	t=2			
0.01	0.0238	0.0209	0.0168	0.0116	12.184	29.411	51.260
0.1	0.222	0.1957	0.1596	0.1122	11.846	28.108	49.459
0.2	0.3948	0.3488	0.2878	0.2076	11.651	27.102	47.416
0.3	0.5323	0.4699	0.3896	0.2857	11.722	26.808	46.327
0.4	0.6474	0.571	0.4741	0.3511	11.801	26.768	45.767
0.5	0.7461	0.6586	0.5473	0.4076	11.727	26.645	45.369
0.6	0.8307	0.736	0.6125	0.4576	11.400	26.267	44.913
0.7	0.9005	0.8047	0.6715	0.5027	10.638	25.430	44.175
0.8	0.9473	0.8648	0.7256	0.543	8.708	23.403	42.679
0.9	0.8056	0.9043	0.7695	0.5318	-12.251	4.481	33.987
0.98	0.1288	0.3679	0.346	0.1566	-185.636	-168.630	-21.583



شکل ۲- نمودار  $u-x$  در حالت  $v=0.01$  و زمان  $t=0.4$  به دو روش تفاضل محدود و LBM ( $N_x, t=401$ ).

اعداد ارائه شده در جدول ۲ نشان دهنده‌ی نتایج حل معادله‌ی برگر تعمیم یافته در حالت  $m=2$  و  $v=0.01$  در زمان  $t=0.4$  به دو روش تفاضل محدود و روش LBM می باشد. تفاوت نتایج حاصل از روش تفاضل محدود نسبت به روش LBM با استفاده از رابطه ۱۴ محاسبه و در ستون آخر جدول ارائه شده است. نتایج نشان می دهد که بیشترین تفاوت در مکان  $x=0.9$  حاصل شده و برابر ۳/۷۹ درصد می باشد. لازم به ذکر است که علامت منفی در ستون آخر نشان دهنده‌ی این است که قدر مطلق نتایج روش تفاضل محدود نسبت به نتایج روش LBM بزرگتر می باشد و علامت مثبت بیانگر عکس این مطلب است. بطور کلی می توان گفت که خطاهای ارائه شده در این قسمت بسیار ناچیز بوده و تقریباً تطابق کامل بین روش تفاضل محدود و LBM برقرار است.

نتایج ارائه شده در جدول ۱ نشانگر این است که سرعت ته نشینی در چهار زمان در برخی از مکانها می باشد. همچنین تفاوت نتایج حاصله در هر یک از زمانها نسبت به زمان  $t=0.4$  با استفاده از رابطه ۱۴ محاسبه و در ستون مربوطه ارائه شده است. یادآور می شود که علامت مثبت نشان می دهد که سرعت ته نشینی نسبت به زمان  $t=0.4$  کاسته شده است و علامت منفی نشان دهنده افزایش سرعت ته نشینی نسبت به زمان  $t=0.4$  می باشد. همان طور که مشاهده می شود در انتهای بازه مورد بررسی و با افزایش زمان سرعت ته نشینی ذرات کاسته می شود.

جهت بررسی دقت روش تفاضل محدود، به مقایسه داده های حاصل از این روش با نتایج موجود از روش LBM پرداخته شد. نتایج این مقایسه در شکل ۲ ارائه شده است. این شکل نشان دهنده‌ی نتایج حل معادله‌ی برگر تعمیم یافته در حالت  $m=2$  و  $v=0.01$  در زمان  $t=0.4$  به دو روش تفاضل محدود و روش LBM می باشد. همان طور که در شکل ۲ مشاهده می شود، تطابق مناسب بین نتایج تحقیق حاضر و روش LBM وجود دارد و صحت سنجی مناسب را نشان می دهد.

LBM با افزایش زمان از  $t=0.4$  به  $t=2$ ، از  $3/79$  درصد به  $0/67$  درصد کاسته می شود.

جدول ۳- نتایج عددی سرعت ته نشینی در حالت

$v=0.01$  و زمان  $t=2$  به دو روش تفاضل محدود و روش

x	u		$e_{(LBM,FDM)}$
	LBM	FDM	
0.1	0.1101	0.1122	-0.31
0.2	0.2061	0.2076	-0.24
0.3	0.2848	0.2857	-0.23
0.4	0.3505	0.3511	-0.22
0.5	0.407	0.4076	-0.22
0.6	0.457	0.4575	-0.24
0.7	0.5022	0.5027	-0.23
0.8	0.5427	0.5430	-0.18
0.9	0.5322	0.5318	0.67

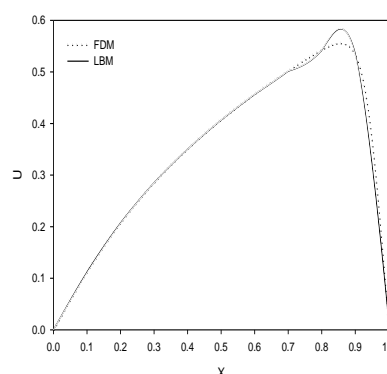
فراسنج  $v$  در نتایج حل معادله‌ی برگر تعمیم یافته تأثیر گذار است، تأثیر این فراسنج با حل معادله‌ی ۱ به روش تفاضل محدود، با مقادیر متفاوت این فراسنج و مقایسه آنها با یکدیگر مورد بررسی قرار گرفت.

معادله‌ی برگر تعمیم یافته در شرایط مرزی و اولیه ارائه شده در رابطه ی ۱۵، حالت  $m=1$  و زمان  $t=0.5$  در سه حالت  $v=0.1$ ،  $v=0.01$ ،  $v=0.001$  به روش تفاضل محدود با در نظر گرفتن  $201$  گره در جهت مکان و زمان حل شد و نتایج این حل به صورت سه نمودار سرعت ته نشینی (u) بر حسب مکان (x) در شکل ۴ نمایش داده شده است، هر یک از نمودارها به شرح نتایج یکی از حالت‌های فراسنج  $v$  می پردازد. مقایسه سه نمودار نشان می دهد که با افزایش فراسنج  $v$  از سرعت ته نشینی ذرات کاسته می شود بطوری که با  $100$  برابر شدن گرانشی، سرعت در نقطه اوج حدود  $60$  درصد کاهش می یابد. همچنین با کاهش گرانشی، نقطه اوج سرعت به سمت انتهای بازه مورد بررسی تغییر مکان می دهد. به بیان دیگر با کاهش فراسنج  $v$ ، مکان رخداد بیشترین سرعت به سمت نقطه مرزی سیر می کند. همچنین در گرانشی های زیاد ( $v=0.1$ ) شاخه صعودی و نزولی نمودار از تقارن مناسبی برخوردار است ولی با کاهش گرانشی، عدم تقارن مشاهده می گردد و شاخه نزولی حالت پله ای خواهد داشت.

جدول ۲- نتایج عددی سرعت ته نشینی در حالت  $v=0.01$  و زمان  $t=0.4$  به دو روش تفاضل محدود و روش

x	u		$e_{(LBM,FDM)}$
	LBM	FDM	
0.1	0.2218	0.2221	-0.13
0.2	0.3941	0.3948	-0.16
0.3	0.5313	0.5324	-0.19
0.4	0.6463	0.6475	-0.18
0.5	0.7451	0.7461	-0.13
0.6	0.8305	0.8307	-0.02
0.7	0.9024	0.9006	0.19
0.8	0.955	0.9473	0.79
0.9	0.8374	0.8056	3.79

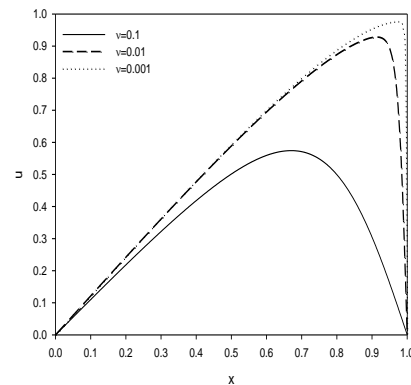
نمودارهای شکل ۳ نتایج دو روش تفاضل محدود و LBM را در زمان  $t=0.4$  مورد مقایسه قرار می دهد. در شکل ۳ به بررسی نتایج این دو روش در حل معادله‌ی برگر تعمیم یافته در حالت  $m=2$  و  $v=0.01$  در زمان  $t=2$  پرداخته شده است. در روش تفاضل محدود تعداد گره های شبکه بندی در جهت زمان و مکان برابر  $401$  گره برای این حل در نظر گرفته شد. مقایسه دو نمودار در شکل ۳ نشان می دهد که در زمان  $t=2$  نیز نتایج دو روش به یکدیگر نزدیک بوده و از تطابق مناسب برخوردار می باشد. برخی داده های این دو نمودار به صورت عددی در جدول ۳ نیز آورده شده است.



شکل ۳- نمودار سرعت ته نشینی بر حسب مکان در حالت  $v=0.01$  و زمان  $t=2$  به دو روش تفاضل محدود و روش LBM ( $N_x, t=401$ ).

مقایسه نتایج جداول ۲ و ۳ نشان می دهد که بیشترین تفاوت بین نتایج روش تفاضل محدود نسبت به روش

برخی از نتایج عددی نمودارهای ارائه شده در شکل ۴ در جدول ۴ آمده است. در این جدول در سه حالت  $v=0.1$ ،  $v=0.01$  و  $v=0.001$  در مکانهای متفاوت نتایج حل معادله‌ی برگر تعمیم یافته ارائه شده است. همچنین تفاوت نتایج هر یک از حالتها نسبت به حالتها دیگر با استفاده از رابطه‌ی ۱۴ محاسبه و در ستون مربوطه ارائه شده است. با افزایش این فراسنج از  $v=0.1$  به  $v=0.01$ ، از  $v=0.01$  به  $v=0.001$  در این جدول بترتیب در بیشترین حالت  $v=0.001$ ،  $204$ ،  $213$  و  $3$  درصد، به سرعت ته نشینی ذرات افزوده شده است.



شکل ۴- سرعت ته نشینی ذره در حالت  $m=1$  و زمان  $t=0.5$  در سه حالت  $v=0.1$ ،  $v=0.01$  و  $v=0.001$  به روش تفاضل محدود  $(Nx, t=201)$ .

جدول ۴- داده‌های عددی سرعت ته نشینی ذره در حالت  $m=1$  و زمان  $t=0.5$  در سه حالت  $v=0.1$ ،  $v=0.01$  و  $v=0.001$  به روش تفاضل محدود  $(Nx, t=201)$ .

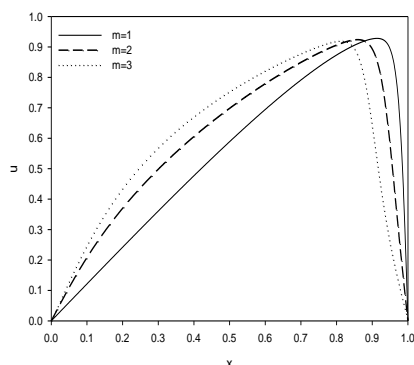
x	u			$e_{(v=0.1, v=0.01)}$	$e_{(v=0.1, v=0.001)}$	$e_{(v=0.01, v=0.001)}$
	v=0.1	v=0.01	v=0.001			
0.1	0.1100	0.1214	0.1223	-10.363	-11.181	-0.741
0.15	0.1644	0.1819	0.1832	-10.644	-11.435	-0.714
0.2	0.2181	0.2420	0.2438	-10.958	-11.783	-0.743
0.3	0.3220	0.3608	0.3636	-12.049	-12.919	-0.776
0.4	0.4184	0.4769	0.4809	-13.981	-14.937	-0.838
0.5	0.5013	0.5888	0.5943	-17.454	-18.551	-0.934
0.6	0.5594	0.6946	0.7021	-24.168	-25.509	-1.079
0.7	0.5710	0.7914	0.8018	-38.598	-40.420	-1.314
0.8	0.4994	0.8735	0.8891	-74.909	-78.033	-1.785
0.9	0.3047	0.9266	0.9552	-204.102	-213.488	-3.086

سرعت‌های ته نشینی به دست آمده در سه حالت متفاوت  $v$  و در پنج زمان مختلف در جدول ۵ نشان می‌دهد.

بیشترین سرعت ته نشینی از اهمیت بالایی برخوردار می‌باشد چرا که در علوم مهندسی، طراحیها بر اساس بحرانی ترین حالتها آن جام می‌شود و بسیاری از حالتها بحرانی در بیشترین سرعتها رخ می‌دهد. بیشترین

جدول ۵- داده‌های عددی  $u_{max}$  و مکان وقوع آن در حالت  $m=2$  در پنج زمان به روش تفاضل محدود  $(Nx, t=201)$ .

t	$u_{max}$			$x(u_{max})$		
	v=0.1	v=0.01	v=0.001	v=0.1	v=0.01	v=0.001
0.1	0.9035	0.9876	0.9963	0.57	0.595	0.6
0.2	0.8147	0.9748	0.9923	0.595	0.685	0.69
0.3	0.7335	0.9611	0.9879	0.61	0.755	0.785
0.4	0.6601	0.9448	0.9829	0.605	0.815	0.875
0.5	0.5941	0.9239	0.9746	0.6	0.86	0.935



شکل ۵- سرعت ته نشینی ذره در حالت  $v=0.01$  و زمان  $t=0.5$  در سه حالت  $m=1$ ،  $m=2$  و  $m=3$  به روش تفاضل محدود  $(Nx, t=201)$ .

در جدول ۶ نتایج حل معادله‌ی برگر تعمیم یافته در حالت  $v=0.1$  و زمان  $t=0.5$ ، در سه حالت  $m=1$ ،  $m=2$  و  $m=3$  در مکان‌های متفاوت ارائه شده است. بررسی نتایج این جدول نشان می‌دهد که در حالت  $v=0.1$  با افزایش فراسنج  $m$ ، سرعت ته نشینی در برخی از مکان‌ها کاهش و در برخی دیگر افزایش یافته است. همچنین تفاوت نتایج هر یک از حالت‌ها نسبت به حالت‌های دیگر با استفاده از رابطه‌ی ۱۴ محاسبه و در ستون مربوطه ارائه شده است. با افزایش این فراسنج از  $m=1$  به  $m=2$ ، از  $m=1$  به  $m=3$  و از  $m=2$  به  $m=3$  در این جدول به ترتیب در بیشترین حالت ۳۴، ۴۹ و ۱۲ درصد به سرعت ته نشینی ذرات افزوده شده است.

بررسی داده‌های جدول ۵ نشان می‌دهد که در تمامی زمان‌های ارائه شده در این جدول با کاهش فراسنج  $v$ ، به بیشترین سرعت ته نشینی افزوده می‌شود و محل رخداد بیشترین سرعت به مکان‌هایی با  $x$  های بزرگتر (یعنی انتهای مسیر) انتقال می‌یابد.

معادله‌ی برگر تعمیم یافته در شرایط مرزی و اولیه ارائه شده در رابطه‌ی ۱۵، حالت  $v=0.01$  و زمان  $t=0.5$  در سه حالت  $m=1$ ،  $m=2$  و  $m=3$  و با افزایش توان سرعت سقوط ذرات در معادله‌ی برگر به روش تفاضل محدود با در نظر گرفتن ۲۰۱ گره در جهت مکان و زمان حل شد و نتایج این حل به صورت سه نمودار سرعت ته نشینی ( $u$ ) بر حسب مکان ( $x$ ) در شکل ۵ نمایش داده شده است، هر یک از نمودارها به شرح نتایج یکی از حالت‌های فراسنج  $m$  می‌پردازد. مقایسه سه نمودار نشان می‌دهد که با افزایش فراسنج  $m$  در برخی مکان‌ها از سرعت ته نشینی ذرات کاسته و در برخی مکان‌ها به آن افزوده می‌شود. نکته قابل توجه در این شکل این است که با افزایش فراسنج  $m$  در این شکل، مکان رخداد بیشترین سرعت تغییر کرده و به مکان‌هایی با مقدار  $x$  کوچکتری (یعنی به سمت ابتدای بازه مورد بررسی) انتقال یافته است. یا به عبارت دیگر با کاهش این فراسنج، مکان رخداد بیشترین سرعت به سمت راست بازه مورد بررسی و نقاط مرزی سیر می‌کند. برخی نتایج عددی نمودارهای ارائه شده در شکل ۵ در جدول ۷ آمده است.

جدول ۶- داده‌های عددی سرعت ته نشینی ذره در حالت  $v=0.1$  و زمان  $t=0.5$  در سه حالت  $m=1$ ،  $m=2$  و  $m=3$  به روش تفاضل محدود  $(Nx, t=201)$ .

x	u			$e_{(m=1,m=2)}$	$e_{(m=1,m=3)}$	$e_{(m=2,m=3)}$
	m=1	m=2	m=3			
0.1	0.1100	0.1473	0.1643	-33.909	-49.363	-11.541
0.15	0.1644	0.2171	0.2417	-32.055	-47.019	-11.331
0.2	0.2181	0.2831	0.3140	-29.802	-43.970	-10.914
0.3	0.3220	0.4013	0.4392	-24.627	-36.397	-9.444
0.4	0.4184	0.4976	0.5336	-18.929	-27.533	-7.234
0.5	0.5013	0.5661	0.5904	-12.926	-17.773	-4.292
0.6	0.5594	0.5941	0.5973	-6.203	-6.775	-0.538
0.7	0.5710	0.5602	0.5382	1.891	5.744	3.927
0.8	0.4994	0.4423	0.4062	11.433	18.662	8.161
0.9	0.3047	0.2429	0.2170	20.282	28.782	10.662



رخداد بیشترین سرعت به مکانهایی با  $x$ های کوچکتر و ابتدای مسیر انتقال می‌یابد. یادآور می‌شود که نتایج جدول ۷ در حالت  $v=0.01$  و نتایج جدول ۶ در به عنوان نمونه حالت  $v=0.1$  محاسبه گردیده است.

داده‌های ارائه شده در جدول ۷ نشانگر بیشترین سرعت‌های ته نشینی به دست آمده در سه حالت متفاوت  $m$  و در پنج زمان مختلف در حالت  $v=0.01$  هستند. بررسی داده‌ها نشان می‌دهد که بجز در زمان  $t=0.1$  در بقیه زمان‌های ارائه شده در این جدول با افزایش فراسنج  $m$  از بیشترین سرعت ته نشینی کاسته می‌شود و محل

جدول ۷- داده های عددی  $u_{max}$  و مکان وقوع آن در حالت  $v=0.01$  در پنج زمان به روش تفاضل محدود ( $N_x, t=201$ ).

t	$u_{max}$			$x(u_{max})$		
	m=1	m=2	m=3	m=1	m=2	m=3
0.1	0.9875	0.9876	0.9876	0.595	0.595	0.595
0.2	0.9749	0.9748	0.9747	0.69	0.685	0.675
0.3	0.9617	0.9611	0.9601	0.775	0.755	0.735
0.4	0.9478	0.9448	0.9421	0.855	0.815	0.78
0.5	0.9282	0.9239	0.9206	0.915	0.86	0.81

$m=3$  به ترتیب در بیشترین حالت ۳۴، ۴۹ و ۱۲ درصد به سرعت ته نشینی ذرات افزوده شده است.

### نتیجه‌گیری

در این مقاله به بررسی نتایج حاصل از حل معادله‌ی برگر تعمیم یافته به روش تفاضل محدود و مقایسه آن با روش LBM و حل یک مثال عددی در شرایط مختلف برای مساله ته نشینی مواد معلق پرداخته شد.

نتایج این مقایسه نشان دهنده تطابق و نزدیکی جواب‌های این دو روش می‌باشد. بیشترین تفاوت نتایج حاصل از روش تفاضل محدود نسبت به روش LBM در بین مقایسه‌های آن جام شده ۳/۷۹ درصد می‌باشد. بررسی تأثیر فراسنج زمان بر روی سرعت ته نشینی نشان داد که با افزایش زمان وابسته به کوچک و یا بزرگ بودن اختلاف زمانی، به ترتیب سرعت ته نشینی در برخی نقاط کاهش و در برخی نقاط افزایش و یا فقط کاهش می‌یابد؛ درحالی که با افزایش فراسنج  $v$  از سرعت ته نشینی کاسته و مکان رخداد بیشترین سرعت به مکانی با  $x$  کمتر انتقال می‌یابد بطوری که با ۱۰۰ برابر شدن گرانیروی، سرعت در نقطه اوج حدود ۶۰ درصد کاهش می‌یابد. همچنین با افزایش فراسنج  $m$  نیز در حالت  $v=0.01$  و پنج زمان  $t=0.1$ ،  $t=0.2$ ،  $t=0.3$ ،  $t=0.4$  و  $t=0.5$ ، بیشترین سرعت ته نشینی کاهش می‌یابد و مکان رخداد بیشترین سرعت ته نشینی به سمت فواصل ابتدایی بازه مورد بررسی انتقال می‌یابد. در حالی که در حالت  $v=0.1$  با افزایش فراسنج  $m$  از  $m=1$  به  $m=2$ ، از  $m=2$  به  $m=3$  و از  $m=3$  به

### منابع

1. Abdou, M. A., and A. A., Soliman. 2005. Variational iteration method for solving Burger's and coupled Burger's equations. Journal of Computational and Applied Mathematics. 181(2): 245-251.
2. Basha, H. A. 2002. Burgers' equation: A general nonlinear solution of infiltration and redistribution. Water Resources Research. 38(11): 29-1.
3. Broadbridge, P., R., Srivastava and T. C. J., Yeh. 1992. Burgers' equation and layered media: Exact solutions and applications to soil-water flow. Mathematical and computer modelling. 16(11): 163-169.
4. Dai, C. Q., and Y. Y., Wang. 2009. New exact solutions of the (3+1)-dimensional Burgers system. Physics Letters A. 373(2): 181-187.
5. Diaz, J., J., Ramirez and J., Villa. 2011. The numerical solution of a generalized Burger's-Huxley equation through a conditionally bounded and symmetry-preserving method.

- Mathematics and Computers in Simulation. 70(2): 90-98.
14. Šarler, B., R., Vertnik and G., Kosec. 2012. Radial basis function collocation method for the numerical solution of the two-dimensional transient nonlinear coupled Burgers' equations. Applied Mathematical Modelling. 36(3): 1148-1160.
  15. Shen, S. F., Z. L., Pan and J., Zhang. 2004. New exact solution to (3+1)-dimensional Burgers equation. Communications in Theoretical Physics. 42(1): 49-50.
  16. Singh, T., B. G., Choksi, M. N., Mehta and S., Pathak. A solution of the Burger's equation arising in the longitudinal dispersion phenomena in fluid flow through porous media by Sumudu transform homotopy perturbation method. IOSR Journal of Mathematics. 11(1): 42-45.
  17. Warrick, A. W., and G. W., Parkin. 1995. Analytical solution for one-dimensional drainage: Burgers' and simplified forms. Water Resources Research. 31(11): 2891-2894.
  18. Wazwaz, A. M. 2008. Multiple soliton solutions and multiple singular soliton solutions for the (3+1)-dimensional Burgers equations. Applied Mathematics and Computation. 204(2): 942-948.
  19. Zhao, T., C., Li, Z., Zang and Y., Wu. 2012. Chebyshev-legendve pseudo-spectral method for the generalized Burger's-Fisher equation. Applied Mathematical Modelling. 36: 1046-1056.
  ۲۰. اصغری پری، س.ا. و س.م. محققیان. ۱۳۹۳. بررسی عددی تاثیر ایجاد گودال‌های حفاظتی در بستر بر مهار کردن جریان غلیظ. مجله علمی پژوهشی مهندسی منابع آب. ۷(۲۳): ۱-۱۲.
  6. Duan, Y., R., Liu and Y., Jiang. 2008. Lattice Boltzmann model for the modified Burgers' equation. Applied Mathematics and Computation. 202(2): 489-497.
  7. Haq, S., A., Hussain and M., Uddin. 2012. On the numerical solution of nonlinear Burgers'-type equations using meshless method of lines. Applied Mathematics and Computation. 218(11): 6280-6290.
  8. Haq, S., and M., Uddin. 2009. A mesh-free method for the numerical solution of the KdV-Burgers equation. Applied Mathematical Modelling. 33(8): 3442-3449.
  9. Hills, R. G., and A. W., Warrick. 1993. Burgers' equation: A solution for soil water flow in a finite length. Water resources research. 29(4): 1179-1184.
  10. Khater, A. H., R. S., Temsah and M. M., Hassan. 2008. A Chebyshev spectral collocation method for solving Burgers'-type equations. Journal of Computational and Applied Mathematics. 222(2): 333-350.
  11. Meher, R., and M. N., Mehta. 2010. A new approach to Backlund transformations of Burger equation arising in longitudinal dispersion of miscible fluid flow through porous media. International Journal of Applied Mathematics and Computation. 2(3): 17-24.
  12. Nee, J., and J., Duan. 1998. Limit set of trajectories of the coupled viscous Burgers' equations. Applied Mathematics Letters. 11(1): 57-61.
  13. Ramadan, M. A., and T. S., El-Danaf. 2005. Numerical treatment for the modified burgers equation. Computers and Mathematics with Applications. 61: 3330-3344.